



## مدل سازی پدیده رشد تومور فاقد رگ با رویکرد مدل ساختاری با استفاده از روش المان محدود

فائزه ایرانمنش، محمد علی نظری\*

1- دانشجوی کارشناسی ارشد، مهندسی مکانیک، دانشگاه تهران، تهران

2- استادیار، مهندسی مکانیک، دانشگاه تهران، تهران

\*manazari@ut.ac.ir, 1439955961

**چکیده**

اهمیت مدل سازی ریاضی پدیده رشد سلطان همانند سایر پدیده‌های بیولوژیکی از این جهت است که می‌توان با استفاده از این مدل‌ها بسیاری از پارامترهایی که قابل اندازه‌گیری نمی‌باشند و نقش مهمی در طی این فرایند ایفا می‌کنند را پیش‌بینی و اندازه‌گیری نمود. از این‌رو، مدل ارائه شده، با در نظر گرفتن هر چه بیشتر فاکتورها و عوامل مختلفی که در این پدیده دخالت دارند، به مدلی دقیق‌تر منجر خواهد شد. در پژوهش حاضر مدل المان محدودی از پدیده رشد تومور فاقد رگ با در نظر گرفتن مدل ساختاری بافت و تشنهای ایجاد شده در آن، ارائه شده است که نتایج حاصل از آن مطابقت خوبی با نتایج تجربی دارند. در مدل ارائه شده، ساختار تومور و بافت پیرامون آن به صورت یک ماده هایپرالاستیک فرض شده که به مرور زمان بافت تومور رشد می‌کند. تشنهای ناشی از رشد به صورت تابعی از غلظت مواد غذایی و اکسیژن، محتوای جامد تومور و نرخ تکثیر و مرگ سلولی در نظر گرفته شده‌اند. با استفاده از این مدل می‌توان تشنهای ایجاد شده در بافت در حین فرایند رشد را پیش‌بینی کرده و فل و انفعالات میان تومور و بافت پیرامون آن را بررسی نمود. نتایج حاصل از مدل نشان می‌دهند که تشنهای ایجاد شده در تومور به مرور زمان موجب کاهش نرخ رشد تومور شده و درنهایت می‌تواند منجر به یک حالت پایدار شود. همچنین بهمنظور بررسی قابلیت‌های مدل، تاثیر مدول حجمی بافت به عنوان یک عامل تعیین‌کننده در میزان تراکم تاپدیری بافت، بررسی شده است. بررسی‌ها نشان می‌دهند که افزایش مدول حجمی بافت که به معنای افزایش تراکم تاپدیری بافت است، میزان تشنهای ایجاد شده در آن را افزایش می‌دهد که با توجه به اینکه بافت‌های بیولوژیکی شامل مقادیر قابل توجهی آب می‌باشند، نتایج واقع‌گرایانه‌تری را نشان می‌دهد.

### اطلاعات مقاله

مقاله پژوهشی کامل

دریافت: 13 آذر 1395

پذیرش: 19 بهمن 1395

ارائه در سایت: 11 اسفند 1395

کلید واژگان:

رشد تومور

مدل المان محدود

مدول حجمی

ماده هایپرالاستیک

## Finite element modeling of avascular tumor growth focusing on the constitutive model

Faezeh Iranmanesh, Mohammad Ali Nazari\*

Department of Mechanical Engineering, University of Tehran, Tehran, Iran  
\* P.O.B. 1439955961, Tehran, Iran, manazari@ut.ac.ir

### ARTICLE INFORMATION

Original Research Paper

Received 03 December 2016

Accepted 07 February 2017

Available Online 01 March 2017

#### Keywords:

Avascular tumor growth

Finite element modeling

Hyperelastic material

Bulk modulus

### ABSTRACT

Mathematical modeling of tumor growth as modeling of other biological tissues is important since these models enable us to predict and evaluate the parameters that could not be measured easily. These parameters also play an important role in the process of tumor growth. The accuracy of a derived model depends upon considering more involved factors and mechanisms and will lead us toward a realistic modelling.

In this study, a finite element model of avascular tumor growth is represented. This model concentrates on the constitutive behavior of tissues and the resulting stresses. The results of the model are in accordance with experimental data. The tumor and its host are assumed to behave as a hyperelastic material that grows over the time. The growth-induced stress is a function of nutrient concentration, solid content of the tumor and rate of cell proliferation and death. The evolved stresses during growth and interactions between tumor and the surrounding host could be evaluated using the presented model. The results show that the exerted stresses on tumor increase as time passes which leads to reduction of tumor growth rate until it gradually reaches an asymptotic radius. Furthermore, to show the efficiency of the growth model, the effects of variation of the bulk modulus which is a determinant of compressibility are investigated. It is found that the increase of bulk modulus which leads to more incompressibility causes stress elevation. Since biological tissues consist mainly of water, it seems that increase of bulk modulus may lead to more realistic results.

### 1- مقدمه

در می‌شوند [1]: 1) مدل‌های گسسته سلول مبنای<sup>1</sup> (Discrete cell-based models) و 2) مدل‌های پیوسته<sup>2</sup> (Continuum models).

در طول سال‌های گذشته، مدل‌های ریاضی متعددی برای مطالعه پیشروی‌سازی ارائه شده است. مدل‌های ارائه شده به دو دسته کلی تقسیم

<sup>1</sup> Discrete cell-based models

<sup>2</sup> Continuum models

#### Please cite this article using:

F. Iranmanesh, M. A. Nazari, Finite element modeling of avascular tumor growth focusing on the constitutive model, *Modares Mechanical Engineering*, Vol. 17, No. 3, pp. 115-122, 2017 (in Persian)

برای ارجاع به این مقاله از عبارت ذیل استفاده نمایید:

گرفته شده تا مدلی نزدیک‌تر به واقعیت حاصل شود چرا که یک بافت سلطانی شامل بخش‌های مختلفی از قبیل مناطق هایپوکسیک<sup>۳</sup>، نکروز شده<sup>۴</sup> و قابل حیات<sup>۵</sup> [۱] می‌باشد و ناهمگنی‌های موجود در بافت نیز ناشی از تفاوت در رفتار متابولیکی سلول‌ها در بخش‌های مختلف این بافت می‌باشند.

بروز سلطان، منجر به تغییر خواص مکانیکی بافت شده به طوری که تنها جنبه مکانیکی سلطان که توسط بیماران و پزشکان قابل لمس می‌باشد، افزایش سختی بافت است [۱۵].

تنش‌ها در یک بافت سلطانی از همان مراحل ابتدایی سلطان‌زایی ایجاد می‌شوند [۱۶]. این تنش‌ها می‌توانند از طریق فشردن سلول‌های سلطانی تاثیر مستقیم بر روی فرآیند رشد تومور داشته باشند و یا از طریق فشردن رگ‌های خونی و لنفی تاثیر غیرمستقیمی بر روی این فرآیند بگذارند [۱۰، ۱۸، ۱۷، ۱۴، ۱۳]. فشردنگی سلول‌های بافت سلطانی منجر به کاهش نرخ تکثیر سلول‌ها می‌شود [۱۹-۲۱]. در این راستا، هلملینگر و همکارانش<sup>۶</sup> نخستین بررسی‌ها را بر روی رشد تومور در یک محیط محدود شده انجام دادند [۱۹]. هلملینگر و همکارانش از طریق رشد یک توده سلطانی در ژل آگاروس<sup>۷</sup> با غلظت افزاینده ثابت کردند که تنش‌های فشاری اعمال شده به یک توده سلطانی که توسط یک ژل آگاروس احاطه شده است، نرخ تکثیر این سلول‌ها را کاهش می‌دهد. تحقیقات این گروه نشان داد که افزایش غلظت این محیط موجب افزایش تنش‌های فشاری اعمال شده به بافت می‌شود که منجر به کاهش و در نهایت توقف رشد توده سلطانی می‌گردد. به علاوه، این تنش‌های فشاری موجب فشردنگی رگ‌های خونی و لنفی موجود در بافت شده به طوری که فشردنگی رگ‌های خونی موجب کاهش تغذیه، اکسیژن‌رسانی و دارورسانی<sup>۸</sup> به بافت می‌شود [۲۲]. همچنین فشردنگی رگ‌های لنفی مانع تخلیه مایع درون سلولی شده که خود موجب افزایش فشار میان‌بافتی می‌گردد [۱۳].

در پژوهش حاضر، یک مدل جدید برای فرآیند رشد تومور با تکیه بر مدل ساختاری آن ارائه شده است. این مدل قادر است تا تنش‌های بوجود آمده در حین فرآیند رشد را محاسبه نماید. برای این منظور بافت تومور به صورت یک ماده هایپرالاستیک مونی-ریولین<sup>۹</sup> که تنش‌های ناشی از رشد به آن افزوده می‌شود در نظر گرفته شده است. تنش‌های ناشی از رشد به صورت تابعی از غلظت مواد غذایی، محتوای جامد بافت و نرخ تکثیر و مرگ سلولی محاسبه شده‌اند. همچنین به منظور بررسی برهمکنش‌های میان تومور و محیط پیرامون آن، محیط پیرامونی آن نیز به صورت یک ماده هایپرالاستیک نئو-هوکین<sup>۱۰</sup> در نظر گرفته شده است. در نهایت نشان داده می‌شود که نتایج حاصل از این مدل مطابقت خوبی با نتایج تجربی داشته و می‌تواند بسیاری از پدیده‌های دخیل در فرآیند پیشروی سلطان را پیش‌بینی نماید.

## 2- مدل ساختاری

برای توضیح رفتار بافت سلطانی و بافت پیرامونی آن، دو تابع انرژی کرنشی هایپرالاستیک جداگانه به کار رفته است. مدل هایپرالاستیک مونی-ریولین تراکم‌پذیر دو پارامتری در فرم کوپل شده آن برای توضیح رفتار بافت تومور به کار رفته است. تابع چگالی انرژی کرنشی در واحد حجم<sup>۱۱</sup> در دستگاه مرجع به صورت زیر می‌باشد [۲۳]:

<sup>3</sup> Hypoxic

<sup>4</sup> Necrotic

<sup>5</sup> Viable

<sup>6</sup> Helmlinger et al.

<sup>7</sup> Agarose gel

<sup>8</sup> Drug-delivery

<sup>9</sup> Mooney-Rivlin

<sup>10</sup> Neo-Hookean

<sup>11</sup> Strain energy function per unit reference volume

نکثیر و مهاجرت می‌باشد [۲] و تمامی پارامترها و مکانیزم‌های تعریف شده، وابسته به سلول می‌باشند. در دسته دیگر، که بافت تومور به صورت یک محیط پیوسته در نظر گرفته می‌شود بسته به رویکرد مدل، بافت تومور به عنوان یک ماده الاستیک، هایپرالاستیک [۵-۳]، ویسکو-الاستیک [۶] یا حتی مایع [۸,۷] فرض می‌شود. در این مدل‌ها، بافت بیولوژیکی به صورت یک ماده تک‌فاز می‌باشد. برخی از مدل‌های پیوسته ارائه شده، بافت تومور را به صورت یک ماده چند فازی در نظر گرفته که مشکل از فازهای جامد و مایع است [۹-۱۱]. هر یک از این مدل‌ها سعی می‌کنند تا تاثیر عوامل و فاکتورهای مختلف را (که بعضًا با روش‌های آزمایشگاهی قابل اندازه‌گیری نمی‌باشند) بر روی نرخ رشد تومور، اندازه آن، تغییر در الگوی رشد آن و یا مورفو‌لوژی آن بررسی کنند. به عنوان مثال در سال ۲۰۰۳، کریستینی<sup>۱۲</sup> با ارائه یک مدل غیرخطی به بررسی مورفو‌لوژی‌های پیچیده تومورهای جامد پرداخت. نتایج حاصل از مدل وی نشان داد که برای یک تومور جامد، شرایط بحرانی وجود دارد که در آن تومور به سمت حالت‌های ساکن می‌کند و یا به صورت شکل-ثابت<sup>۲</sup> رشد می‌کند. جدای از این حالت‌های بحرانی، سیر تکاملی تومور ممکن است ناپایدار باشد و منجر به رفتار تهاجمی شود. کریستینی در این بررسی خود برای اولین بار مفهوم "ناپایداری انتشاری" را در رژیم‌هایی که سرعت رگ‌زایی پایین است به عنوان یک مکانیزم تهاجمی برای تومور مطرح کرد. در حالی که پژوهش‌های پیشین نشان می‌داد که تومورهای متقاضان فاقد رگ حالت پایدار می‌توانند ناپایدار باشند، پژوهش‌های کریستینی نشان داد که ناپایداری در حین رشد می‌تواند منجر به رشد نامحدود تومور و عبور آن از وضعیت متقاضان حالت پایدار شود. جالب توجه است که در این مدل، در مورد تومورهایی که به شدت دچار رگ‌زایی شده‌اند پیش‌بینی می‌شود که رفتار غیرتهاجمی داشته باشند. این مشاهدات نشان می‌دهد که رفتار تهاجمی تومورهایی که به شدت دچار رگ‌زایی شده‌اند به ناهمسانگردی شبکه عروقی آن‌ها و سایر ناهمگنی‌ها در محیط پیرامونی آن‌ها (برای مثال ناهمگنی در مواد غذایی و اکسیژن و یا ناهمسانگردی الاستیک) مربوط می‌شود. رفتار شکل-ثابت اشاره شده در بالا نیز امکان کنترل شکل تومور را در ذهن ایجاد می‌کند.

هر چند هرکدام از این رویکردها، به نوبه خود درک جدیدی از فرآیندهای اتفاق افتاده در مقیاس‌های طولی و زمانی را به دست می‌دهند، با این وجود، بهدلیل پیچیدگی‌های این پدیده و برای توضیح دقیق فعل و انفعالاتی که در ابعاد سلولی و بافتی وجود دارد، همچنان فقدان مدلی که همه ابعاد این پدیده را در نظر گرفته باشد در این حوزه به چشم می‌خورد. علی‌رغم وجود مدل‌های ریاضی متعدد برای مطالعه روند رشد تومور، تاکنون تعداد اندکی از این مطالعات، حداقل در مقایسه با سایر بافت‌های بیولوژیکی نظری قلب، عروق، ماهیچه‌ها و غضروف، با در نظر گرفتن مدل ساختاری بافت سلطانی انجام گرفته است [۱۴,۱۳].

به علاوه هریک از مدل‌های موجود محدودیت‌های خاص خود را دارند. در طی فرآیند رشد تومور، فاکتورهای بیولوژیکی و شیمیایی متعددی ایفای نقش می‌کنند، علاوه بر این‌ها فعل و انفعالات مکانیکی نیز در این فرآیند تاثیرگذارند. غلظت مواد غذایی نظری گلوکز و اکسیژن، فاکتورهای مربوط به رشد، بازدارنده‌ها [۱] و همچنین فرایندهایی نظری تکثیر و مرگ سلولی از جمله مواردی هستند که بایستی در این فرآیند در نظر گرفته شوند. علاوه بر این مکانیزم‌ها، ناهمگنی‌های موجود در ساختمان بافت نیز بایستی در نظر

<sup>1</sup> Cristini

<sup>2</sup> self-similarly

بافت تومور نسبت داده شده است و بهوسیله تابع  $F = V_{\text{new}}/V_0$   $= (1 - \alpha\bar{\sigma})^3$  [1] این اثر در روابط مربوط به رشد تومور در نظر گرفته شده است [9]. در پژوهش حاضر، رهیافت دیگری اتخاذ شده است و برای در نظر گرفتن تغییرات لحظه‌ای وجود آمده در حجم تومور، این پارامتر با دترمینان تانسور گرادیان تغییر شکل،  $J = dV_{\text{new}}/dV_0$  جایگزین شده است.

تابعیت زمانی  $\gamma$  که توسط تابع  $\gamma(t)$  لحاظ شده است با توجه به روند نمایی<sup>۵</sup> رشد تومور در مراحل ابتدایی آن [27,26]<sup>۶</sup>، به صورت نمایی در نظر گرفته شده است. این تابع در "شکل ۱" ترسیم شده است.

این تابع بهوسیله رابطه زیر بیان می‌شود:

$$\gamma(t) = a \exp(bt) \quad (8)$$

همچنین فرض شده است که مقیاس زمانی نرخ تکثیر سلولی و جایجایی سلول‌ها کوچک بوده به طوری که نیروهای اینرسی قابل چشم‌پوشی می‌باشند، که این فرض منجر به معادله تعادل زیر می‌گردد:

$$\nabla \cdot \sigma = 0 \quad (9)$$

### ۳- مدل اجزا محدود

در مدل ارائه شده در پژوهش حاضر، بافت سرطانی به صورت یک کره در نظر گرفته شده است. براساس تحقیقات از پیش انجام گرفته [29,28] یک تومور جامد فاقد سیستم خونرسان تا بیشینه اندازه ۱-۲ mm<sup>3</sup> قادر به رشد می‌باشد. بر این اساس شعاع اولیه تومور کروی برابر با ۰.۱mm در نظر گرفته شده است که مراحل ابتدایی رشد تومور را نشان می‌دهد. بهمنظور رشد یکنواخت تومور در همه جهات، بافت پیرامونی تومور نیز به صورت یک کره توخالی مدل شده است که بافت تومور در وسط این کره توخالی قرار می‌گیرد. همچنین بهمنظور جلوگیری از اثرات مرزی، بافت پیرامونی، اختلاف اندازه قابل توجهی نسبت به بافت تومور دارد. مجموعه تومور و بافت پیرامون آن توسط ۲۵۰۸۸ المان شش وجهی<sup>۷</sup> که شامل ۲۵۸۱۹ گره می‌باشد، شبکه‌بندی شده است. تصویری از برش عرضی مدل المان محدود تومور و بافت پیرامون آن در "شکل ۲" نمایش داده شده است. همان‌طور که در شکل مشاهده می‌شود، ریزی مش‌ها در بافت تومور و بافت پیرامون مجاور آن بیشتر بوده چرا که در این نواحی به محاسبات دقیق تری نیاز داریم و هرچه به سمت مرزهای بافت پیرامون پیش می‌رویم از ریزی مش‌ها کاسته می‌شود. اثر متقابل<sup>۸</sup> میان مرز تومور و بافت پیرامون آن به صورت یک تماس

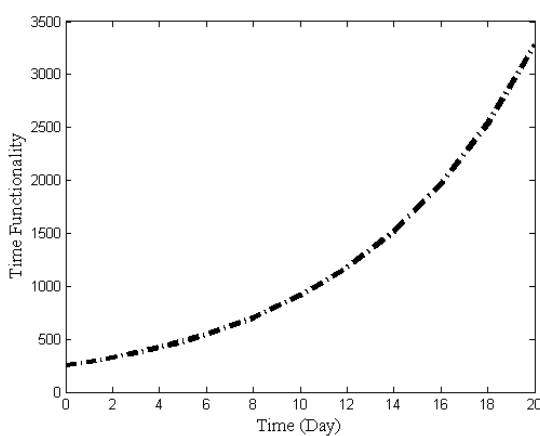


Fig. 1 Time functionality of tumor growth

شکل ۱ تابعیت زمانی رشد تومور

<sup>۵</sup> Exponential  
<sup>۶</sup> Hexahedral  
<sup>۷</sup> Interaction

$$\Psi(J, I_1, I_2) = \frac{k}{2}(J - 1)^2 - d\ln J + c_1(I_1 - 3) + c_2(I_2 - 3) \quad (1)$$

در رابطه (1)،  $J$  دترمینان تانسور گرادیان تغییر شکل<sup>۱</sup>،  $I_1$  و  $I_2$  به ترتیب ناوردهای اول و دوم تانسور کوشی<sup>۲</sup>- گرین راست<sup>۳</sup>،  $k$  مدول حجمی ماده و  $c_1$  و  $d$  ثوابتی هستند که با فرض صفر بودن این انرژی در وضعیت مرتعه که فاقد تنفس می‌باشد، می‌توان رابطه زیر را بین این سه پارامتر بدست آورد:

$$d = (c_1 + 2c_2) \quad (2)$$

همچنین ماده تشکیل‌دهنده بافت پیرامونی تومور، به صورت یک ماده هایپرالاستیک نفو-هوکین که توسط تابع انرژی کرنشی زیر توضیح داده می‌شود، در نظر گرفته شده است:

$$\Psi(J, I_1) = \frac{k}{2}(\ln J)^2 - \mu \ln J + c_1(I_1 - 3) \quad (3)$$

در رابطه (3)،  $\mu$  معرف مدول برشی ماده در حالت خطی بوده و ثابت  $c_1$  از طریق برابری  $c_1 = \mu/2$  به مدول برشی خطی  $\mu$  مرتبط می‌شود. تانسور تنش کوشی<sup>۴</sup> با استفاده از تابع انرژی کرنشی به صورت زیر محاسبه می‌گردد [23]:

$$\sigma = 2J^{-1} F \frac{\partial \Psi(C)}{\partial C} F^T \quad (4)$$

به طوری که در رابطه (4)،  $F$  گرادیان تغییر شکل و  $C$  تانسور کوشی<sup>۵</sup>- گرین راست می‌باشند.

### ۲- مدل‌سازی پدیده رشد

تنش ایجاد شده در یک نقطه از تومور، به صورت مجموع تنش کوشی بدست آمده از رابطه (4) که معرف تنش ماده هایپرالاستیک می‌باشد و تنش ناشی از رشد در نظر گرفته می‌شود:

$$\sigma_{\text{total}} = \sigma_{\text{mooney-rivlin}} + \sigma_{\text{growth}} \quad (5)$$

در رابطه (5) تنش ناشی از رشد به صورت زیر تعریف می‌گردد:

$$\sigma_{\text{growth}} = k\eta I \quad (6)$$

در این رابطه،  $k$  مدول حجمی بافت سرطانی بوده و  $\eta$  بیانگر حجم بافت تولید شده طی فرایند رشد بر واحد حجم در وضعیت مرتعه می‌باشد که خود تابعی از زمان است. تابع پیشنهاد شده برای  $\eta$  به این صورت است:

$$\eta = \left( \frac{\lambda_c[n]}{k_M + [n]} \right) J \phi^s (1 - \phi^s) - \mu_c \phi^s \gamma(t) \quad (7)$$

بهمنظور در نظر گرفتن نرخ تولید بافت جدید در طی فرآیند رشد، از یک رابطه از نوع مدل ارائه شده توسط میشلیس-منتن<sup>۶</sup> استفاده شده است [9]. در معادله (7)، عبارت  $\lambda_c[n]/(k_M + [n])$ ، بیانگر نرخ تولید بافت که به صورت تابعی از سه پارامتر  $[n]$ ،  $\lambda_c$  و  $k_M$  بیان شده است. در این عبارت،  $[n]$  بیانگر غلظت مواد غذایی در دسترس برای بافت،  $\lambda_c$  بیشینه نرخ تکثیر سلولی و  $k_M$  محدودیت مواد غذایی در وضعیتی که نرخ تولید بافت ۵۰٪ نرخ ماکریزم آن می‌باشد، است. همچنین در رابطه (7)،  $\phi^s$  بیانگر کسر حجمی فاز جامد بافت بوده و  $\mu_c$  بیانگر نرخ مرگ سلولی می‌باشد. ذکر این نکته حائز اهمیت است که بیشینه نرخ تکثیر سلولی  $\lambda_c$  در شرایطی محاسبه شده است که هیچ گونه محدودیت مواد غذایی برای بافت وجود نداشته و هیچ تنشی به سلول‌ها اعمال نمی‌شود [26-24,9].

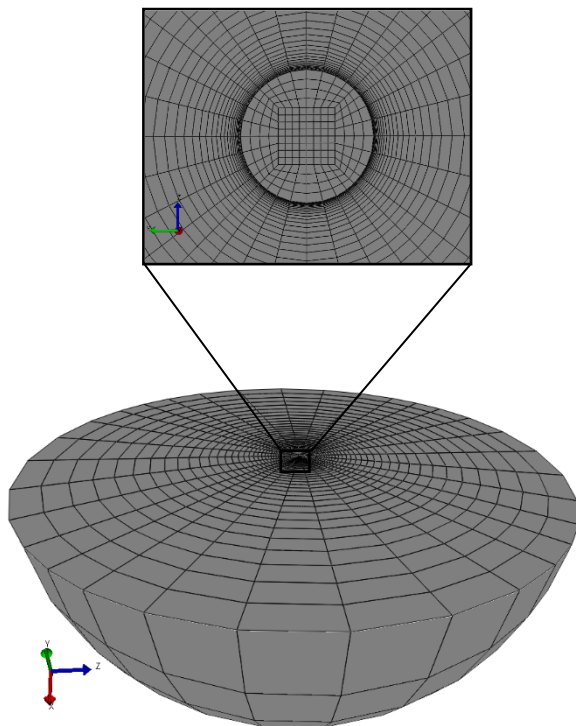
در طی فرآیند رشد تومور، بدليل کاهش نرخ تکثیر سلولی، کاهش اندازه سلول‌ها و یا هر دوی این عوامل، نرخ رشد حجمی تومور به مرور کاهش می‌یابد [9]. در تحقیقات پیشین، این کاهش نرخ رشد به ابانتگی تنش در

<sup>1</sup> Determinant of deformation gradient tensor

<sup>2</sup> First and second invariants of right Cauchy-Green tensor

<sup>3</sup> Cauchy-stress tensor

<sup>4</sup> Michaelis-Menten



**Fig. 2** Finite element model of tumor tissue and its host  
شکل 2 مدل المان محدود بافت تومور و بافت پیرامون آن

جدول 1 مقادیر عددی پارامترهای مربوط به مدل ساختاری بافت تومور

**Table 1** Parameter values of the tumor constitutive model

	نوع تومور	[9] MU89
مدول حجمی	19 mmHg	
مدول برشی	14.25 mmHg	
$c_1$	1266 Pa	
$c_2$	-316.5 Pa	
$\lambda_c$	3 day <sup>-1</sup>	
$k_M$	$8.3 \times 10^{-3}$ mol.m <sup>-3</sup>	
$[n]$	0.28 mol.m <sup>-3</sup>	
$\mu_c$	0.3 day <sup>-1</sup>	
$\phi^s$	0.6	

جدول 2 مشخصات ماده اختصاص داده شده به بافت پیرامونی

**Table 2** Material properties of the host tissue

	نوع ماده بافت پیرامونی	مدول الاستیسیته (mmHg)	مدول برشی (mmHg)	مدول حجمی (Pa)	ضریب پواسون
0.5% type agarose gel	VII	0.90	0.68	216.2	0.2

تومور بوده، در طول زمان ثابت فرض شده است و مقدار  $[n]$  که غلظت مواد غذایی را نشان می‌دهد به مرور زمان تغییر می‌کند که به دلیل تاثیر ناچیز این تغییرات بر روی نتایج شبیه‌سازی، این غلظت ثابت و برابر غلظت اولیه در نظر گرفته شده است.

تابعیت زمانی  $\eta$  که در تابع  $\gamma(t)$  گنجانیده شده، به وسیله رابطه (8) پیش‌بینی شده است. در این رابطه، مقادیری از  $a$  و  $b$  که بیشترین مطابقت را با نتایج تجربی می‌دهند به قرار زیرند:

$$a = 251.8$$

$$b = 0.1283$$

کشی/فشاری<sup>1</sup> فرض شده است. به منظور مدل‌سازی اجزا محدود پدیده رشد تومور از نرم‌افزار المان محدود غیرخطی FEBio [30] استفاده شده است و برای این کار یک پلاگین<sup>2</sup> خاصیت مکانیکی ماده نوشته شده است که این پلاگین، ماده اختصاص داده شده به بافت تومور را توضیح می‌دهد. این متشکل از یک ماده هایپرالاستیک مونی-ریولین بوده که به مرور زمان رشد می‌کند. پلاگین در حقیقت یک کتابخانه دینامیک و از پیش کامپایل شده است که که بوسیله زبان C++ نوشته می‌شود و به کاربر این امکان را می‌دهد که ویژگی‌های مدنظر خود را به نرم‌افزار اضافه نموده و قابلیت اتصال به فایل ورودی نرم‌افزار را در زمان حل دارد.

### 1-3- مقادیر عددی پارامترها

در این مدل دو دسته پارامتر وجود دارد. دسته اول پارامترهای مربوط به بافت پیرامونی می‌باشند که به عنوان یک ماده هایپرالاستیک نئو-هوکین فرض شده است و دسته دوم پارامترهای مربوط به بافت تومور بوده که به صورت یک ماده هایپرالاستیک مونی-ریولین در نظر گرفته شده که به مرور زمان رشد می‌کند. بنابراین پارامترهای مربوط به تنفس ناشی از رشد نیز جزو پارامترهای مربوط به بافت تومور می‌باشند.

به منظور صحبت‌سنگی مدل ارائه شده و مقایسه نتایج حاصل از مدل با نتایج تجربی موجود در منابع، لازم است تا پارامترهای اختصاص داده شده به مدل با پارامترهای موجود در منابع یکسان باشند. به این منظور، پارامترهای در نظر گرفته شده برای بافت تومور، براساس مقادیر گزارش شده توسط رز و همکارانش<sup>3</sup> [9] برای تومور نوع MU89<sup>4</sup> می‌باشد که در آن مدول حجمی بافت توسط این گروه اندازه‌گیری شده و همچنین ضریب پواسون بافت برابر 0.2 قرار داده شده است [9]. از آن جایی که مدل ریاضی به کار رفته توسط این گروه یک مدل الاستیک خطی می‌باشد، بنابراین پارامترهای در نظر گرفته شده در این مرجع به طور مستقیم برای مدل غیرخطی هایپرالاستیک قابل استفاده نمی‌باشند. برای به دست آوردن پارامترهای متناظر در ماده هایپرالاستیک مونی-ریولین، تنش دوم پیولا کر-شهوف<sup>5</sup> حول مبدأ خطی‌سازی شده است (رابطه (10) و رابطه (11))

$$S = 2 \frac{\partial \Psi(C)}{\partial C} = 2(c_1 + c_2 I_1)I - 2c_2 C + k \ln C^{-1} - 2(c_1 + 2c_2)C^{-1} \quad (10)$$

$$D(S) \cdot u = -4c_2 \epsilon + 4c_2 \text{tr}(\epsilon)I + k \text{tr}(\epsilon)I + 4(c_1 + 2c_2)\epsilon \quad (11)$$

و از طریق معادل سازی روابط به دست آمده با رابطه (12) مقادیر عددی پارامترهای مربوط به مدل الاستیک خطی (رابطه (12)) مقدار عددی پارامترهای مربوط به مدل هایپرالاستیک مونی-ریولین، تنش دوم پیولا کر-شهوف<sup>5</sup> حول مبدأ

$$\sigma = \lambda \text{tr}(\epsilon)I + 2\mu \epsilon \quad (12)$$

سایر پارامترهای بیان شده در جدول 1 مربوط به مدل رشد می‌باشند که از همان مرجع [9] اتخاذ شده‌اند. همچنین بافت پیرامونی به صورت یک ژل آگاروس در نظر گرفته شده است که پارامترهای مربوط به این ماده توسط هلملینگ و همکارانش [19] گزارش شده‌اند (جدول 2).

لازم به ذکر است که مقدار  $\phi^s$  که نشان‌دهنده کسر حجمی بخش جامد

<sup>1</sup> Tension/compression contact

<sup>2</sup> Material plugin

<sup>3</sup> Roose et al.

<sup>4</sup> این نوع تومور یک ملانوما است. ملانوما به تومور با منشا سلول‌های ملانین دار می‌گویند. این تومور بدخیم اغلب در ناحیه پوست ایجاد می‌شود. اما علاوه بر پوست به ندرت ممکن است در نواحی دیگری از بدن از قبیل دهان، روده و یا چشم هم ایجاد شود. همچنین این نوع تومور در خانم‌ها اغلب در ناحیه پا و در آقایان اغلب در ناحیه پشت ایجاد می‌شوند.

<sup>5</sup> Second piola-kirchhoff stress

#### 4- نتایج

نمودارهای مربوط به نتایج تجربی و محاسباتی تغییرات شعاع تومور نوع MU89 در "شکل 3" نشان داده شده است. همان‌طور که در این نمودار مشاهده می‌شود، با گذشت زمان تومور به یک شعاع حالت پایدار رسیده که با نتایج تجربی مطابقت دارد.

به منظور تعیین اندازه مناسب برای شبکه المانی که به ازای آن بیشینه تنش‌های اصلی همگرا شوند، شبیه‌سازی‌های متعددی با ریزی افزاینده انجام گرفته است. در جدول 3، بیشینه مقدار تنش‌های اصلی برای 5 ریزی مختلف گزارش شده است. هم‌زمان با افزایش ریز شدن المان‌ها، بیشینه تنش اصلی به مقدار 346 Pa همگرا شده است. براساس این نتایج، مدل المان محدود به ازای تعداد 25088 المان، به طور تقریبی همگرا می‌شود. بنابراین مدل به کار رفته در پژوهش حاضر نیز براساس همین تعداد المان، شبکه‌بندی شده است

تا مصالحه منطقی میان دقت نتایج حاصل و حجم محاسبات صورت پذیرد.

تغییرات مربوط به تنش‌های شعاعی و مماسی در بافت تومور و محیط پیرامون آن، بر حسب فاصله از مرکز کره تومور برای دو نقطه زمانی مختلف در "شکل 4" و "شکل 5" نشان داده شده است. همچنین نمودار گرافیکی مربوط به تغییرات تنش‌های اصلی اول و سوم در آخرین نقطه زمانی (روز بیستم) نیز در "شکل 6" نمایش داده شده است.

همان‌طور که در "شکل 4" نشان داده شده است، تنش‌های شعاعی محاسبه شده، در تمامی نقاط فشاری بوده، با این تفاوت که در داخل تومور، مقدار این تنش‌ها تقریباً ثابت می‌باشد. در حالی که در مرز میان تومور و بافت پیرامونی، این مقدار کاسته شده و با افزایش فاصله از مرکز کره نیز بتدریج به سمت صفر میل می‌کند.

براساس "شکل 5" تنش‌های مماسی نیز در داخل تومور و تا مرز بین

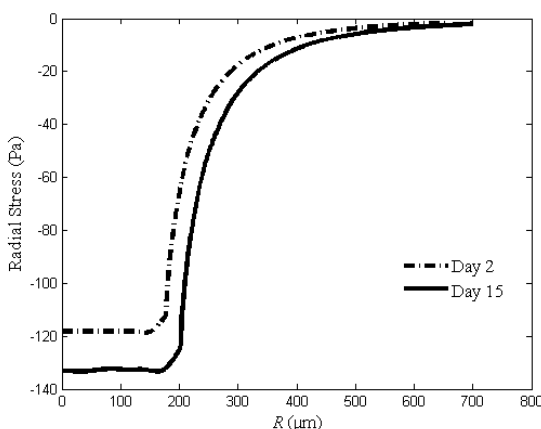


Fig. 4 Radial stresses generated in tumor and its surrounding host versus radius

شکل 4 توزیع تنش‌های شعاعی در تومور و بافت پیرامون آن بر حسب فاصله از مرکز تومور

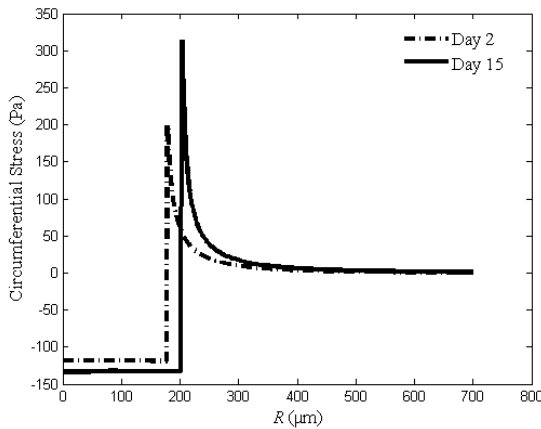


Fig. 5 Circumferential Stresses generated in tumor and its surrounding host versus radius

شکل 5 توزیع تنش‌های مماسی در تومور و بافت پیرامون آن بر حسب فاصله از مرکز تومور

تومور و بافت پیرامون فشاری و تقریباً ثابت بوده است اما ناگهان در مرز میان تومور و بافت پیرامون آن، به تنش کششی تبدیل می‌شود که قابل پیش‌بینی است و بتدریج نیز با افزایش فاصله از مرکز کره، به سمت صفر میل می‌کند.

#### 4- آنالیز پارامتری مدل حجمی

به منظور بررسی تاثیر تراکم‌پذیری در نتایج حاصل، آنالیز پارامتری بر روی مدل حجمی بافت انجام گرفته است. افزایش میزان مدل حجمی بافت تومور و بافت پیرامون آن، مجموعه را به سمت تراکم‌ناپذیری هدایت می‌نماید. بدین ترتیب می‌توان از این طریق، تاثیر عامل تراکم‌ناپذیری را بر روی نتایج مورد بررسی قرار داد. مقادیر مدل حجمی مورد استفاده در مدل اصلی، براساس مقادیر گزارش شده در مرجع [19,9] می‌باشند که در جدول 1 و جدول 2 گزارش شده است. چنانچه مدل حجمی تومور با  $k_{0-tumor}$  و مدل حجمی بافت پیرامون با  $k_{0-host}$  نشان داده شود، تغییرات مدل حجمی نسبت به این مقادیر سنجیده شده که در جدول 4 بیان شده است. به ازای هر مقدار جدید برای مدل حجمی، مقادیر بیشینه تنش کششی و فشاری ایجاد شده در بافت نیز گزارش شده است.

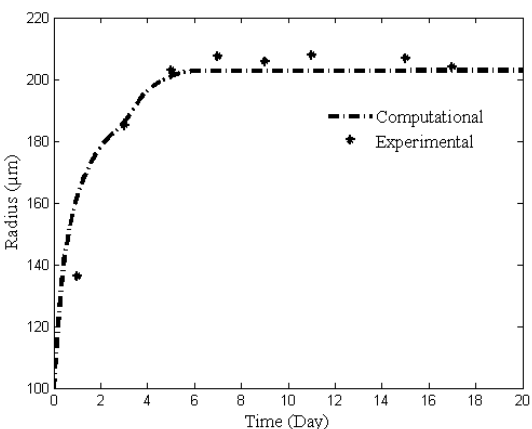


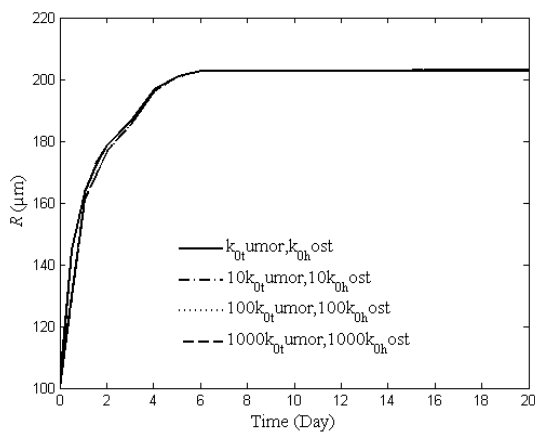
Fig. 3 Experimental and model-predicted radius of Mu89 line tumor spheroid versus time

شکل 3 نتایج تجربی و محاسباتی مربوط به تغییرات شعاع تومور نوع Mu89 با گذشت زمان

جدول 3 همگرایی در مدل المان محدود

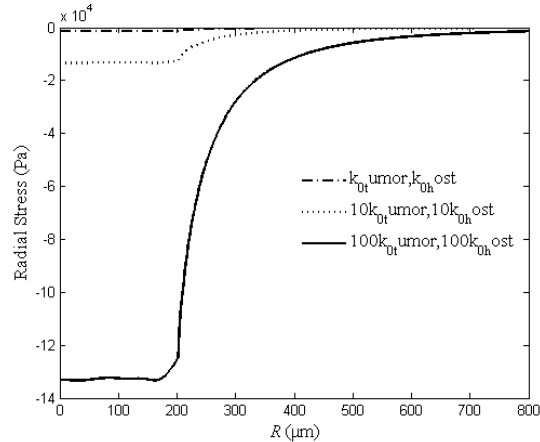
Table 3 Mesh convergence of finite element model

بیشینه تنش اصلی	تعداد المان‌های مدل
57.7	9728
228	17408
326	25088
344	32768
346	40448



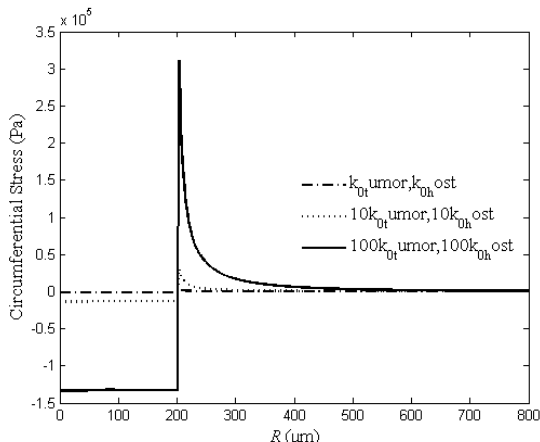
**Fig.7** Radius of tumor spheroid versus time for different bulk modulus of tumor tissue and its surrounding host

شکل 7 نمودار تغییرات شعاع تومور بر حسب زمان به ازای مقادیر مختلف مدول حجمی تومور و بافت پیرامون آن



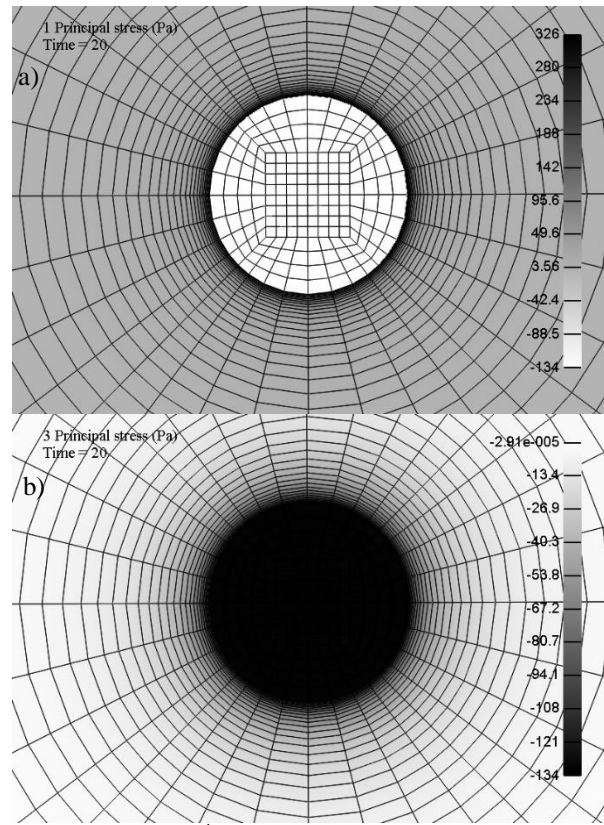
**Fig.8** Radial stresses generated in tumor and its surrounding host versus radius for different bulk modulus of tumor tissue and its surrounding host

شکل 8 توزیع تنש‌های شعاعی در تومور و بافت پیرامون آن بر حسب فاصله از مرکز تومور به ازای مقادیر مختلف مدول حجمی تومور و بافت پیرامون آن



**Fig.9** Circumferential stresses generated in tumor and its surrounding host versus radius for different bulk modulus of tumor tissue and its surrounding host

شکل 9 توزیع تنش‌های مماسی در تومور و بافت پیرامون آن بر حسب فاصله از مرکز تومور به ازای مقادیر مختلف مدول حجمی تومور و بافت پیرامون آن



**Fig. 6 a)** 1<sup>st</sup> and **b)** 3<sup>rd</sup> principal stress changes in tumor and host tissue at the last time point (Day 20)

شکل 6 (a) نمودار توزیع تنش‌های اصلی اول و (b) سوم در بافت تومور و پیرامون آن در آخرین نقطه زمانی (Day 20)

جدول 4 تغییرات بیشینه تنش فشاری و کششی در اثر تغییر مدول حجمی بافت

**Table 4** Changes in maximum tensile and compressive stresses due to bulk modulus variation

مدول حجمی تومور/مدول حجمی بافت پیرامون	بیشینه تنش فشاری (Pa)	بیشینه تنش کششی (Pa)
316.1	133.3	$k_{0\text{-tumor}}, k_{0\text{-host}}$
3160.8	1332.7	$10k_{0\text{-tumor}}, 10k_{0\text{-host}}$
31608.2	13326.8	$100k_{0\text{-tumor}}, 100k_{0\text{-host}}$
316084	133267.8	$1000k_{0\text{-tumor}}, 1000k_{0\text{-host}}$

مقادیر گزارش شده در سطر اول جدول 4، همان نتایج مدل اصلی می‌باشد، که کلیه نمودارها برای این مدل ترسیم شده است. همان‌طور که نتایج جدول 4 نشان می‌دهند، با افزایش مدول حجمی بافت، میزان تنش‌های کششی و فشاری ایجاد شده در بافت افزایش می‌یابند. شایان ذکر است که این تغییرات تاثیری در نرخ رشد تومور و ابعاد نهایی آن نداشته، و نمودار تغییرات شعاع تومور بر حسب زمان که در نمودار "شکل 7" نشان داده شده است، کماکان مشابه نمودار "شکل 3" و مطابق با نتایج تجربی است و تغییرات قابل توجهی در تغییرات زمانی حجم و شعاع تومور در اثر تغییر مدول حجمی مشاهده نمی‌گردد.

همچنین نمودار تغییرات تنش‌های شعاعی و مماسی بر حسب فاصله از مرکز تومور به ازای مقادیر مختلف مدول حجمی بافت تومور و بافت پیرامون آن در "شکل 8" و "شکل 9" نمایش داده شده است.

## 5- بحث و بررسی نتایج

تنش‌های بوجود آمده در حین فرآیند رشد تومور دو تأثیر عمده بر روی تومور

جدید شده و رگ‌زایی<sup>۳</sup> را به سمت تومور هدایت می‌کنند تا از طریق ایجاد رگ‌های خونرسان در بافت سلطانی، سلول‌های این بافت را به طور مستقیم تغذیه کنند. پس از تشکیل و گسترش شبکه عروقی در داخل تومور و بافت پیرامون آن، تنش‌های موجود از طرق مختلفی بر روی این عروق تاثیر می‌گذارند. تنش‌های ایجاد شده همان‌طور که نمودارهای "شکل ۴" و "شکل ۵" نشان می‌دهند در داخل تومور در تمامی راستاهای فشاری می‌باشند. این تنش‌های فشاری می‌توانند موجب فشردنگی و در نهایت فروپاشی رگ‌های داخل بافت شوند [33]. در حالی که در مرز میان تومور و بافت پیرامون آن، تنش‌های مماسی از نوع کششی بوده، بنابراین رگ‌های موجود در این نواحی با وجود این که تحت تاثیر این تنش‌ها دچار تغییر شکل می‌شوند اما همچنان به عملکرد خود ادامه می‌دهند [10]. فشردنگی رگ‌های داخل تومور، ضمن این که جریان خون داخل تومور را مختل می‌کند که خود منجر به کاهش اکسیژن و مواد غذایی در دسترس برای بافت می‌شود، فرآیند دارورسانی را نیز با اختلال مواجه می‌کند. کاهش مجدد اکسیژن رسانی به بافت موجب ترشح مجدد فاکتورهای رشد عروقی و مراحل بعدی رگ‌زایی می‌شود [11]. علاوه بر رگ‌های خونی، رگ‌های لغایی که مایع اضافی درون بافت را تخلیه می‌کنند نیز تحت تاثیر این تنش‌ها قرار می‌گیرند. به طوری که فشرده شدن این رگ‌ها موجب انبساطگی مایع درون بافتی و در نتیجه افزایش فشار مایع درون بافت می‌شود [10].

علاوه بر این تاثیرات، تحقیقات نشان می‌دهند که تنش‌های فشاری ایجاد شده در فرآیند رشد تومور، بر روی مهاجرت سلول‌های سلطانی تاثیرگذارد [34]. براساس تحقیقات انجام شده، سلول‌هایی که در لایه‌های بیرونی یک بافت سلطانی قرار دارند تحت تاثیر تنش‌های فشاری اعمال شده، در نقش "سلول‌های پیش‌تاز"<sup>۴</sup> در مهاجرت سلول‌ها مشارکت می‌کنند [36,35]. این سلول‌ها، به عنوان پیش‌تاز در جهت مهاجرت سلول‌ها حرکت می‌کنند و سایر سلول‌ها به عنوان پیرو به دنبال این سلول‌های پیش‌تاز مهاجرت می‌کنند. احتمال می‌رود که تشکیل سلول‌های پیش‌تاز در مهاجرت همانگ سلول‌ها، ناشی از بالاتس تنش‌های درون سلولی ایجاد شده در سیتواسکلتون ها<sup>۵</sup> باشد. به این ترتیب تنش‌های فشاری موجب تهییج مهاجرت سلول‌ها و رفتار تهاجمی بافت می‌گردند.

در پژوهش حاضر، یک مدل غیرخطی از پدیده رشد تومور فاقد رگ و برهم‌کنش‌های آن با محیط پیرامونی ارائه شده است. با استفاده از این مدل می‌توان تنش‌های ایجاد شده در حین فرآیند رشد را محاسبه نمود. همچنین با استفاده از این مدل می‌توان اثر تغییرات بسیاری از فاکتورهای مکانیکی مانند تغییرات غلظت، تغییرات محتوای جامد بافت، مدول حجمی، تراکم پذیری و ... را بر روی این پدیده ارزیابی کرد و نتایج آن را در اختیار پژوهشکار قرار داد. هرچند مدل حاضر دارای محدودیت‌هایی می‌باشد. به طور مثال تاثیر فشار مایع درون بافتی در این تنش‌ها لحظه نشده است، همچنین ناهمگنی‌های موجود در بافت تومور [13] که ناشی از وجود بخش‌های نکروز شده و یا هایپوکسیک در تومور می‌باشند نادیده گرفته شده‌اند. یکی دیگر از مکانیزم‌های مهمی که در فرآیند رشد تومور نقش مهمی ایفا می‌کند پدیده رگ‌زایی و تنش‌های ناشی از آن می‌باشد. در پژوهش‌های آتی تاثیر این پدیده که در مراحل بعدی رشد تومور اتفاق می‌افتد نیز به مدل حاضر افزوده خواهد شد تا تنش‌های ناشی از این پدیده نیز به تنش‌های ناشی از رشد افزوده شده و مدل دقیق‌تری از این پدیده را در اختیار محققان قرار دهد.

و بافت پیرامون آن دارند:

(۱) فشردن سلول‌های سلطانی و افزایش فشار داخل تومور: همان‌طور که نتایج حاصل نشان می‌دهند، این اثر موجب کاهش نرخ رشد شده و در نهایت با افزایش تنش، شعاع تومور به یک شعاع پایدار می‌رسد.

(۲) فشردن رگ‌های خونی و لغایی: اثر غیر مستقیمی بر فرآیند رشد تومور داشته، به طوری که این فشردنگی موجب کاهش اکسیژن رسانی و خون‌رسانی به بافت شده و سبب ایجاد تغییر در الگوی رشد تومور می‌شود.

به دلیل اثرات متعددی که تنش‌های مکانیکی بر روی فرآیند رشد تومور دارند و از آنجایی که تاکنون روشنی برای اندازه‌گیری این تنش‌ها به صورت درون‌تنی<sup>۶</sup> ارائه نشده است، لازم است تا از مدل‌های ریاضی برای تخمین و محاسبه این تنش‌ها استفاده کرد. به منظور بررسی تنش‌های ناشی از رشد در یک بافت سلطانی یا تنش‌های اعمال شده به یک تومور از بافت پیرامون آن، مولفه‌ها، فاکتورها و مکانیزم‌های متعددی بایستی در نظر گرفته شوند. در مدل ارائه شده در این پژوهش، با در نظر گرفتن عواملی نظیر غلظت مواد غذایی و اکسیژن در دسترس برای بافت، کسر حجمی بخش جامد بافت، نرخ تکثیر و مرگ سلولی و همچنین در نظر گرفتن بافت تومور و بافت پیرامون آن به عنوان یک ماده هایپرالاستیک با خواص غیرخطی که ماده رایج برای مدل‌سازی بافت‌های بیولوژیکی می‌باشد، کوشیده شد تا مدلی نزدیک به واقعیت از این پدیده ارائه شود. همچنین در این راستا صحت مدل ارائه شده از طریق مقایسه نتایج با نتایج تجربی سنجیده شد.

طی یک آنالیز پارامتری انجام شده، تاثیر افزایش مدول حجمی بر روی نتایج حاصل ارزیابی شد. این نتایج نشان داد که افزایش مدول حجمی تاثیری بر تغییرات حجمی تومور با زمان نداشته اما تنش‌های فشاری و کششی ایجاد شده در بافت را به طور چشمگیری افزایش می‌دهد. از آن‌جایی که بافت‌های بیولوژیکی معمولاً دارای مقادیر قابل توجهی آب می‌باشند، به نظر می‌رسد که نزدیک کردن مدل ارائه شده، به یک مدل تراکم‌ناپذیر که از طریق افزایش مدول حجمی انجام گرفته است، نتایج واقع گرایانه‌تری را به دست می‌دهد. اگرچه تاکنون روشنی برای اندازه‌گیری دقیق تنش‌های ایجاد شده در بافت ارائه نشده است، اما نتایج برخی از تحقیقات و مدل‌سازی‌های پیشین تنش‌های ایجاد شده در بافت سلطانی را در حدود 3.7-16 kPa<sup>۷</sup> تخمین زده‌اند که بسته به غلظت بافت متغیر می‌باشد [20]. در مدل دیگری، این تنش‌ها تا بیش از 20 kPa تخمین زده شده است [10].

همان‌طور که گفته شد، تنش‌های ایجاد شده در حین فرآیند رشد تومور چند تاثیر عمده بر روی تومور و بافت پیرامون آن دارند. اولاً، این تنش‌های فشاری، موجب کاهش نرخ رشد تومور و رسیدن تومور به یک شعاع حالت پایدار می‌شود. همچنین تحقیقات انجام گرفته نشان می‌دهد که این تنش‌ها موجب کاهش اندازه سلول‌های سلطانی می‌گردد [9]. مدل بررسی شده در پژوهش حاضر فاقد سیستم خونرسان می‌باشد و در واقع در این مقاله، رشد تومور فاقد رگ بررسی شده است. یک تومور فاقد رگ نمی‌تواند بیش از حجم 1-2mm<sup>3</sup> رشد کند، چرا که در صورت افزایش اندازه‌ای بیش از این، سلول‌هایی که در مرکز تومور و لایه‌های نزدیک به مرکز قرار گرفته‌اند، و تاکنون تنها به وسیله پدیده انتشار از محیط اطراف خود تغذیه می‌شوند، به دلیل عدم دستیابی به مواد غذایی و اکسیژن، شروع به تکثیر فاکتورهای رشد عروقی<sup>۸</sup> (TAFs) [32,31] می‌نمایند. این فاکتورها، موجب رشد عروق

<sup>3</sup> Angiogenesis

<sup>4</sup> Leader cells

<sup>5</sup> Cytoskeleton

<sup>1</sup> In vivo

<sup>2</sup> Tumor angiogenic growth factors

## 6- مراجع

- [18] T. P. Padera, B. R. Stoll, J. B. Tooredman, D. Capen, E. di Tomaso, R. K. Jain, Pathology: cancer cells compress intratumour vessels, *Nature*, Vol. 427, No. 6976, pp. 695-695, 2004.
- [19] G. Helmlinger, P. A. Netti, H. C. Lichtenfeld, R. J. Melder, R. K. Jain, Solid stress inhibits the growth of multicellular tumor spheroids, *Nature Biotechnology*, Vol. 15, No. 8, pp. 778-783, 1997.
- [20] G. Cheng, J. Tse, R. K. Jain, L. L. Munn, Micro-environmental mechanical stress controls tumor spheroid size and morphology by suppressing proliferation and inducing apoptosis in cancer cells, *PLoS one*, Vol. 4, No. 2, pp. e4632, 2009.
- [21] L. Kaufman, C. Brangwynne, K. Kasza, E. Filippidi, V. D. Gordon, T. Deisboeck, D. Weitz, Glioma expansion in collagen I matrices: analyzing collagen concentration-dependent growth and motility patterns, *Biophysical Journal*, Vol. 89, No. 1, pp. 635-650, 2005.
- [22] T. Stylianopoulos, R. K. Jain, Combining two strategies to improve perfusion and drug delivery in solid tumors, *Proceedings of the National Academy of Sciences*, Vol. 110, No. 46, pp. 18632-18637, 2013.
- [23] G. A. Holzapfel, *Nonlinear Solid Mechanics*, pp. 247,210, England: Wiley Chichester, 2000.
- [24] C. Nicholson, J. Phillips, Ion diffusion modified by tortuosity and volume fraction in the extracellular microenvironment of the rat cerebellum, *The Journal of Physiology*, Vol. 321, pp. 225, 1981.
- [25] J. Freyer, *Heterogeneity in multicell spheroids induced by alterations in the external oxygen and glucose concentration*, Rochester University, NY (USA), Department of Radiation Biology and Biophysics, pp. 1981.
- [26] J. Casciaro, S. Sotirchos, R. Sutherland, Mathematical modelling of microenvironment and growth in EMT6/Ro multicellular tumour spheroids, *Cell Proliferation*, Vol. 25, No. 1, pp. 1-22, 1992.
- [27] A. Shirinifard, J. S. Gens, B. L. Zaitlen, N. J. Poplawski, M. Swat, J. A. Glazier, 3D multi-cell simulation of tumor growth and angiogenesis, *PLoS one*, Vol. 4, No. 10, pp. e7190, 2009.
- [28] M. Clauss, G. Breier, *Mechanisms of angiogenesis*, pp. 66, Basel, Switzerland: Springer Science & Business Media, 2004.
- [29] N. Nishida, H. Yano, T. Nishida, T. Kamura, M. Kojiro, Angiogenesis in cancer, *Vascular Health and Risk Management*, Vol. 2, No. 3, pp. 213, 2006.
- [30] S. A. Maas, B. J. Ellis, G. A. Ateshian, J. A. Weiss, FEBio: finite elements for biomechanics, *Journal of Biomechanical Engineering*, Vol. 134, No. 1, pp. 011005, 2012.
- [31] J. Pouysségur, F. Dayan, N. M. Mazure, Hypoxia signalling in cancer and approaches to enforce tumour regression, *Nature*, Vol. 441, No. 7092, pp. 437-443, 2006.
- [32] B. Kaur, F. W. Khwaja, E. A. Severson, S. L. Matheny, D. J. Brat, E. G. Van Meir, Hypoxia and the hypoxia-inducible-factor pathway in glioma growth and angiogenesis, *Neuro-Oncology*, Vol. 7, No. 2, pp. 134-153, 2005.
- [33] V. P. Chauhan, J. D. Martin, H. Liu, D. A. Lacorre, S. R. Jain, S. V. Kozin, T. Stylianopoulos, A. S. Mousa, X. Han, P. Adstamongkonkul, Angiotensin inhibition enhances drug delivery and potentiates chemotherapy by decompressing tumour blood vessels, *Nature communications*, Vol. 4, pp. 2516, 2013.
- [34] M. T. Janet, G. Cheng, J. A. Tyrell, S. A. Wilcox-Adelman, Y. Boucher, R. K. Jain, L. L. Munn, Mechanical compression drives cancer cells toward invasive phenotype, *Proceedings of the National Academy of Sciences*, Vol. 109, No. 3, pp. 911-916, 2012.
- [35] O. Ilina, P. Friedl, Mechanisms of collective cell migration at a glance, *Journal of Cell Science*, Vol. 122, No. 18, pp. 3203-3208, 2009.
- [36] P. Friedl, D. Gilmour, Collective cell migration in morphogenesis, regeneration and cancer, *Nature reviews Molecular Cell Biology*, Vol. 10, No. 7, pp. 445-457, 2009.
- [1] V. Cristini, J. Lowengrub, *Multiscale modeling of cancer: an integrated experimental and mathematical modeling approach*, pp. 3-7, New York: Cambridge University Press, 2010.
- [2] D. Drasco, S. Hoehme, A single-cell-based model of tumor growth in vitro: monolayers and spheroids, *Physical biology*, Vol. 2, No. 3, pp. 133, 2005.
- [3] J. MacLaurin, J. Chapman, G. W. Jones, T. Roose, The buckling of capillaries in solid tumours, *Proc. R. Soc. A*, Vol. 468, No. 2148, pp. 4123-4145, 2012.
- [4] D. Ambrosi, F. Mollica, On the mechanics of a growing tumor, *International Journal of Engineering Science*, Vol. 40, No. 12, pp. 1297-1316, 2002.
- [5] R. P. Araujo, D. McElwain, A linear-elastic model of anisotropic tumour growth, *European Journal of Applied Mathematics*, Vol. 15, No. 03, pp. 365-384, 2004.
- [6] Y. Kim, M. A. Stolarska, H. G. Othmer, A hybrid model for tumor spheroid growth in vitro I: theoretical development and early results, *Mathematical Models and Methods in Applied Sciences*, Vol. 17, No. supp01, pp. 1773-1798, 2007.
- [7] C. Beward, H. Byrne, C. Lewis, The role of cell-cell interactions in a two-phase model for avascular tumour growth, *Journal of Mathematical Biology*, Vol. 45, No. 2, pp. 125-152, 2002.
- [8] C. J. Beward, H. M. Byrne, C. E. Lewis, A multiphase model describing vascular tumour growth, *Bulletin of Mathematical Biology*, Vol. 65, No. 4, pp. 609-640, 2003.
- [9] T. Roose, P. A. Netti, L. L. Munn, Y. Boucher, R. K. Jain, Solid stress generated by spheroid growth estimated using a linear poroelasticity model, *Microvascular Research*, Vol. 66, No. 3, pp. 204-212, 2003.
- [10] T. Stylianopoulos, J. D. Martin, M. Snuderl, F. Mpekris, S. R. Jain, R. K. Jain, Coevolution of solid stress and interstitial fluid pressure in tumors during progression: implications for vascular collapse, *Cancer Research*, Vol. 73, No. 13, pp. 3833-3841, 2013.
- [11] D. Ambrosi, L. Preziosi, Cell adhesion mechanisms and stress relaxation in the mechanics of tumours, *Biomechanics and Modeling in Mechanobiology*, Vol. 8, No. 5, pp. 397-413, 2009.
- [12] V. Cristini, J. Lowengrub, Q. Nie, Nonlinear simulation of tumor growth, *Journal of Mathematical Biology*, Vol. 46, No. 3, pp. 191-224, 2003.
- [13] R. K. Jain, J. D. Martin, T. Stylianopoulos, The role of mechanical forces in tumor growth and therapy, *Annual Review of Biomedical Engineering*, Vol. 16, pp. 321, 2014.
- [14] C. Voutouri, F. Mpekris, P. Papageorgis, A. D. Odysseos, T. Stylianopoulos, Role of constitutive behavior and tumor-host mechanical interactions in the state of stress and growth of solid tumors, *PLoS one*, Vol. 9, No. 8, pp. e104717, 2014.
- [15] M. Keshavarz Seifi, M. R. Farahnak, a. mojra, Artificial tactile sensing capability in tumor detection of the liver tissue utilizing in vitro experimental data and hyperelastic finite element modeling, *Modares Mechanical Engineering*, Vol. 14, No. 15, pp. 388-394, 2014.
- [16] J. Hagendoorn, R. Tong, D. Fukumura, Q. Lin, J. Lobo, T. P. Padera, L. Xu, R. Kucherlapati, R. K. Jain, Onset of abnormal blood and lymphatic vessel function and interstitial hypertension in early stages of carcinogenesis, *Cancer Research*, Vol. 66, No. 7, pp. 3360-3364, 2006.
- [17] T. Stylianopoulos, J. D. Martin, V. P. Chauhan, S. R. Jain, B. Diop-Frimpong, N. Bardeesy, B. L. Smith, C. R. Ferrone, F. J. Horinek, Y. Boucher, Causes, consequences, and remedies for growth-induced solid stress in murine and human tumors, *Proceedings of the National Academy of Sciences*, Vol. 109, No. 38, pp. 15101-15108, 2012.